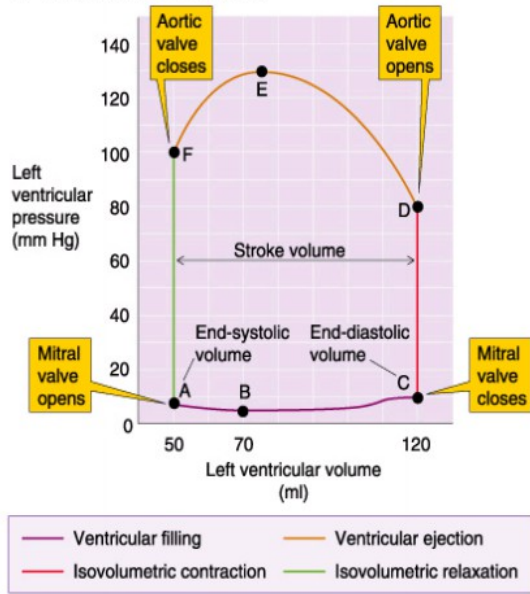
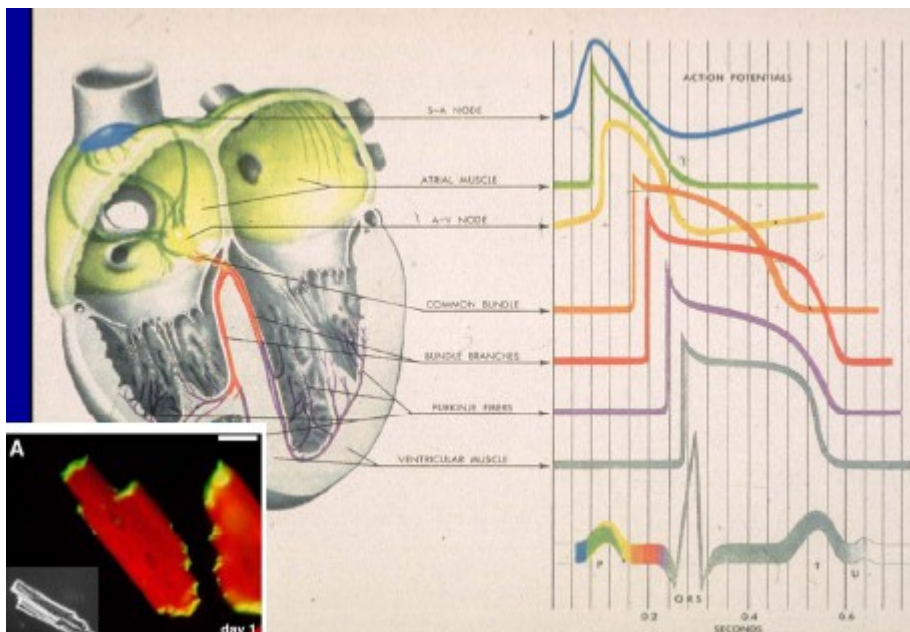


A PRESSURE-VOLUME LOOP

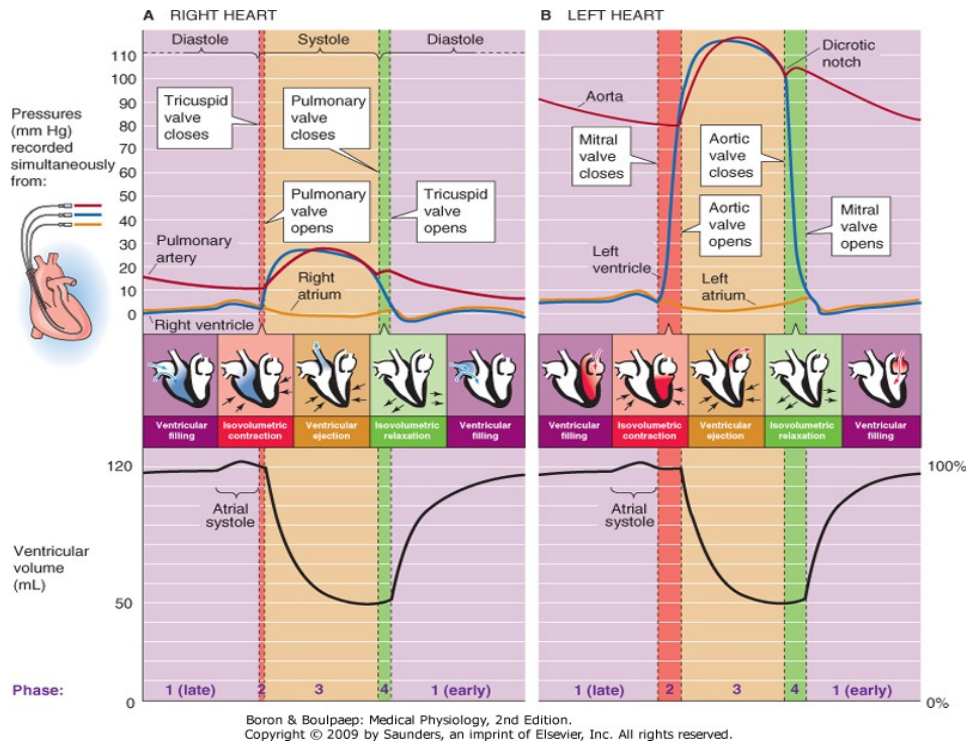


Copyright © 2002, Elsevier Science (USA). All rights reserved.

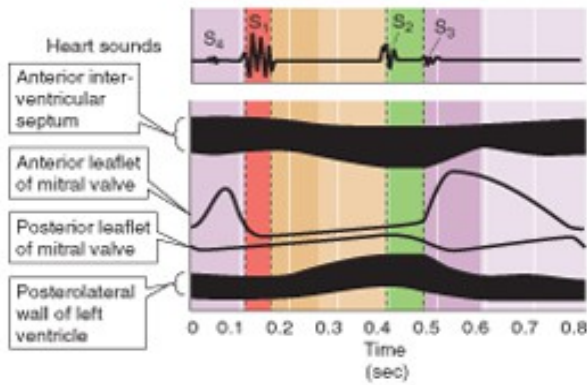
Afbeelding 1



Afbeelding 2

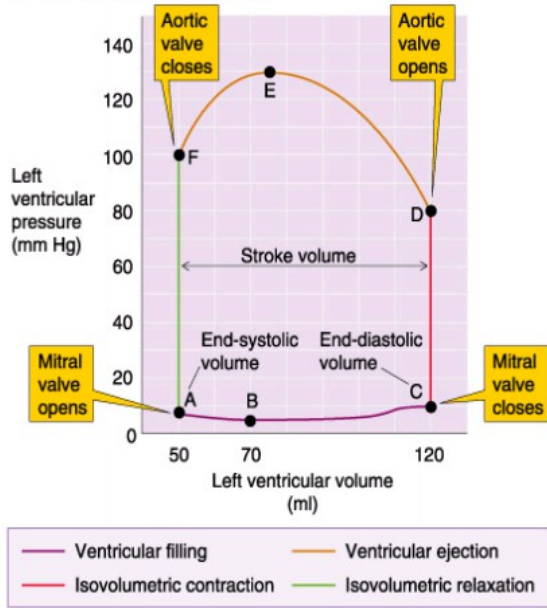


Afbeelding 3



Afbeelding 4

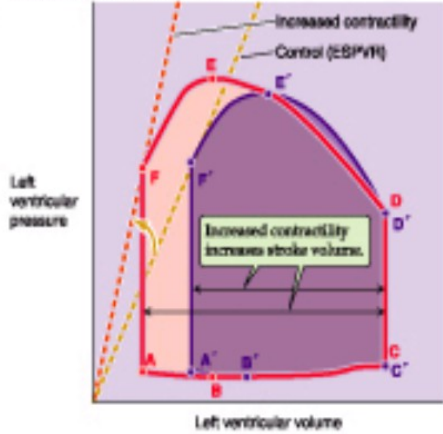
A PRESSURE-VOLUME LOOP



Copyright © 2002, Elsevier Science (USA). All rights reserved.

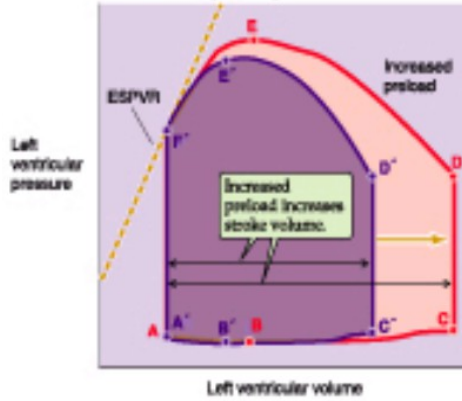
Afbeelding 5

B INCREASED CONTRACTILITY



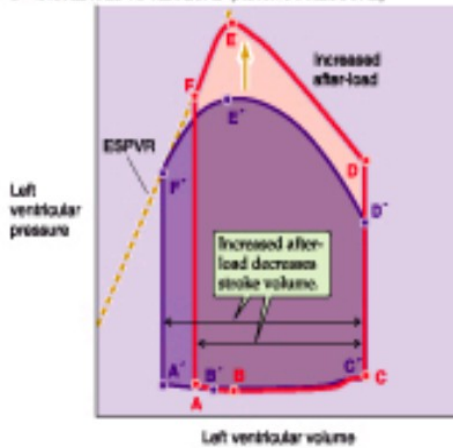
Afbeelding 6

C INCREASED PREELOAD (FILLING)



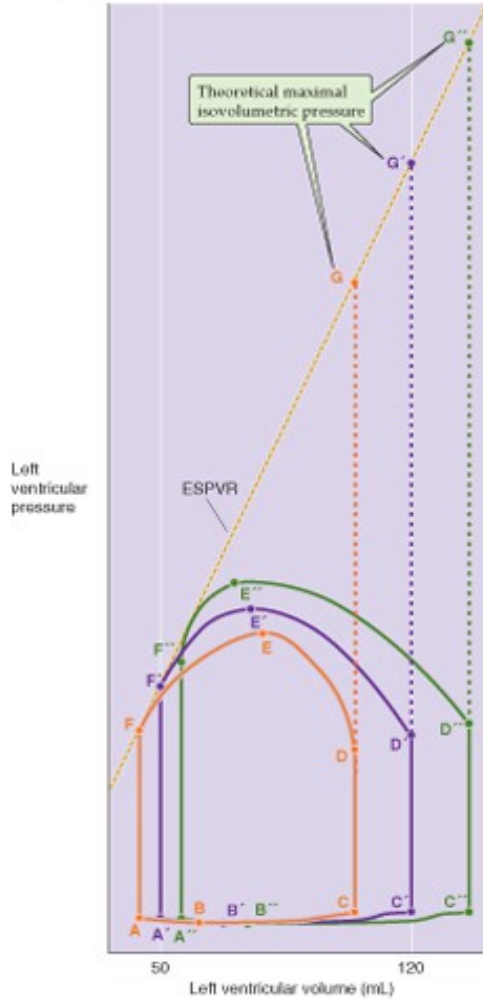
Afbeelding 7

D INCREASED AFTER-LOAD (AORTIC PRESSURE)

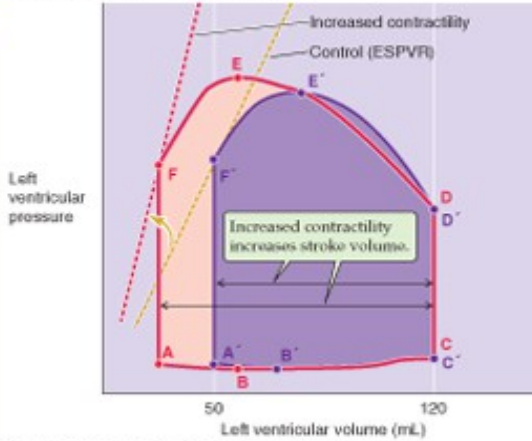


Afbeelding 8

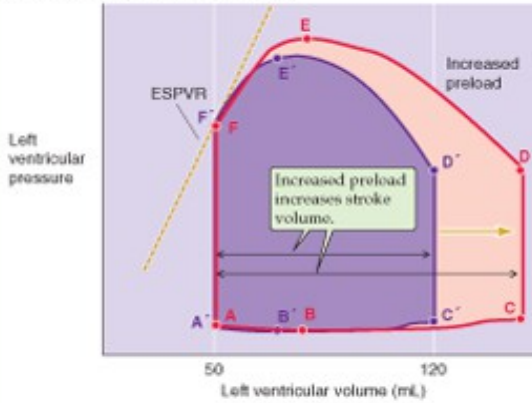
A STANDARD CONTRACTILITY CONDITIONS



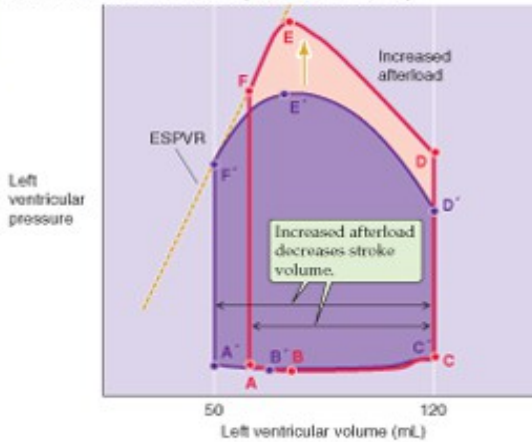
B INCREASED CONTRACTILITY



C INCREASED PRELOAD (FILLING)

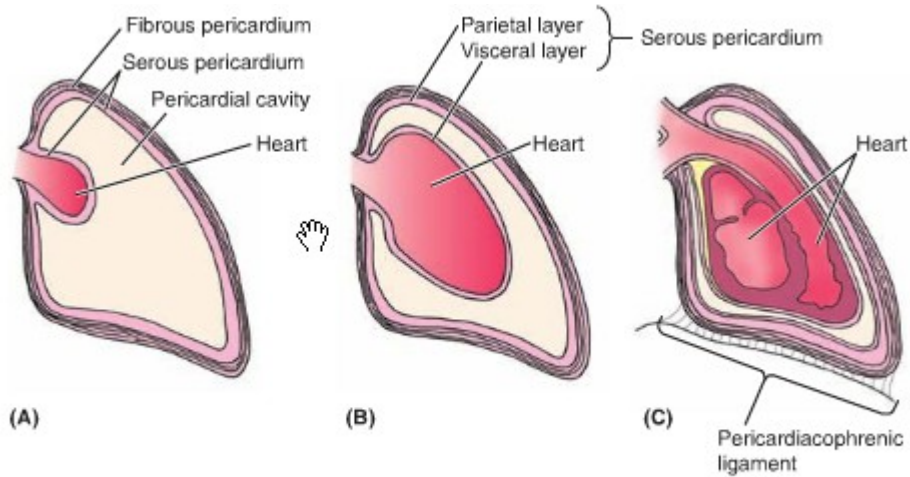


D INCREASED AFTERLOAD (AORTIC PRESSURE)



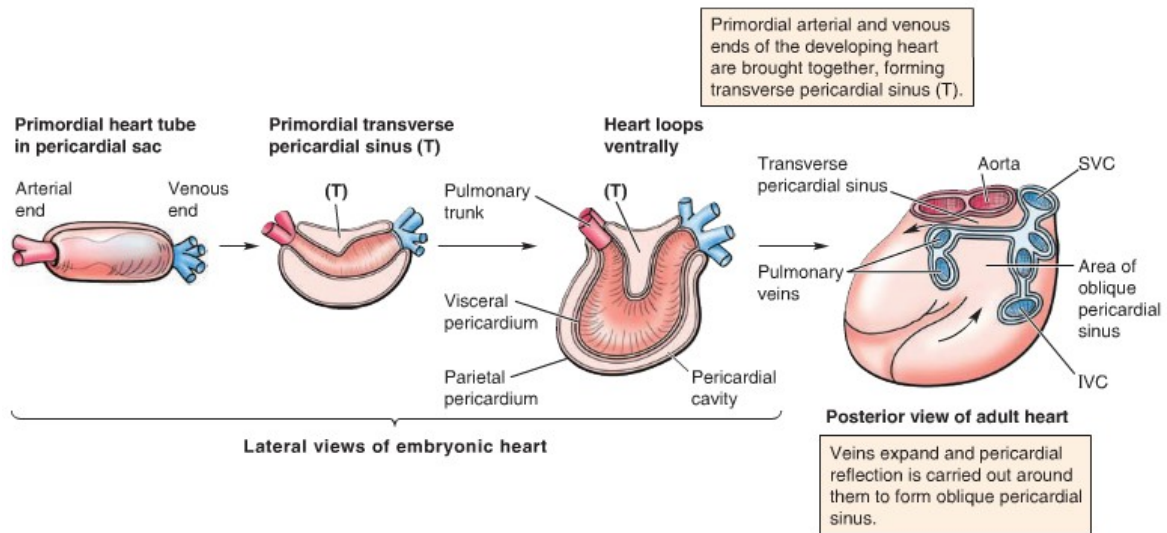
Boron & Boulpaep: Medical Physiology, 2nd Edition.
Copyright © 2009 by Saunders, an imprint of Elsevier, Inc. All rights reserved.

Afbeelding 9



Diagrammatic right lateral views

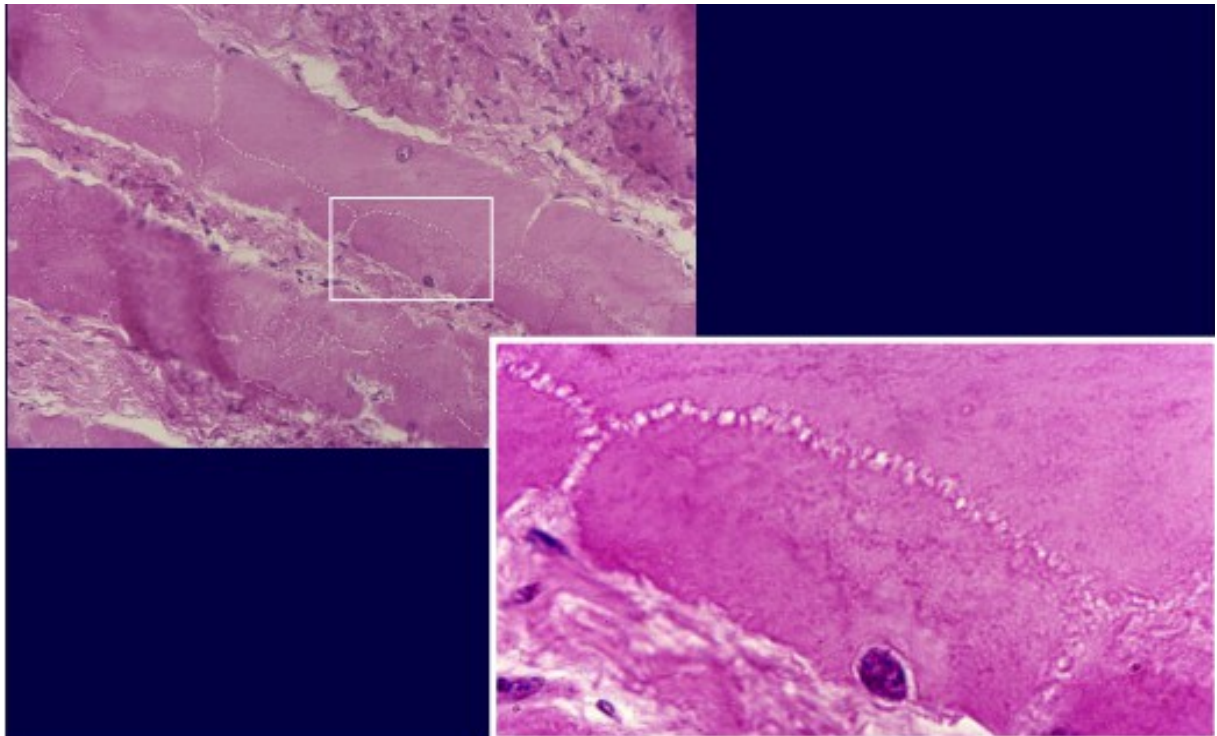
Afbeelding 10



Afbeelding 11 (Bron: Clinically Oriented Anatomy, 6th edition, Moore K.L., Dalley A.F., Agur A.M.R., Elsevier 2010)



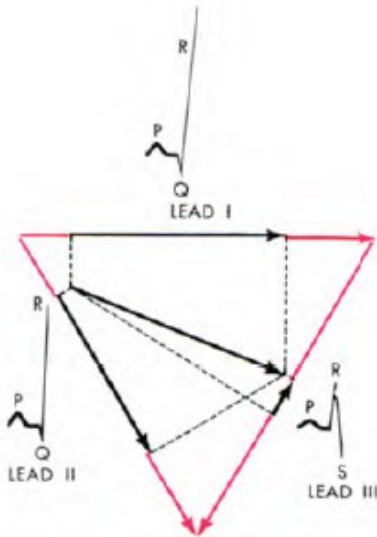
Afbeelding 12



Afbeelding 13



Afbeelding 14



Afbeelding 15